

Общероссийский математический портал

Б. Б. Дамаскин, Е. Шварц, А. Н. Фрумкин, О кривых дифференциальной емкости в растворах K_4 Fe(CN)₆, Докл. АН СССР, 1961, том 140, номер 3, 630–633

Использование Общероссийского математического портала Math-Net.Ru подразумевает, что вы прочитали и согласны с пользовательским соглашением

http://www.mathnet.ru/rus/agreement

Параметры загрузки:

IP: 83.220.238.254

28 января 2018 г., 18:23:07



ФИЗИЧЕСКАЯ ХИМИЯ

Б. Б. ДАМАСКИН, Е. ШВАРЦ и академик А. Н. ФРУМКИН

О КРИВЫХ ДИФФЕРЕНЦИАЛЬНОЙ ЕМКОСТИ В РАСТВОРАХ $K_4Fe(CN)_6$

Кривые зависимости дифференциальной емкости C от потенциала электрода φ в присутствии различных одно- и двузарядных анионов изучались в работах ($^{1-4}$), причем было показано, что горб на C — φ -кривых при потенциалах аноднее точки нулевого заряда (т. н. з.) сильно зависит от при-

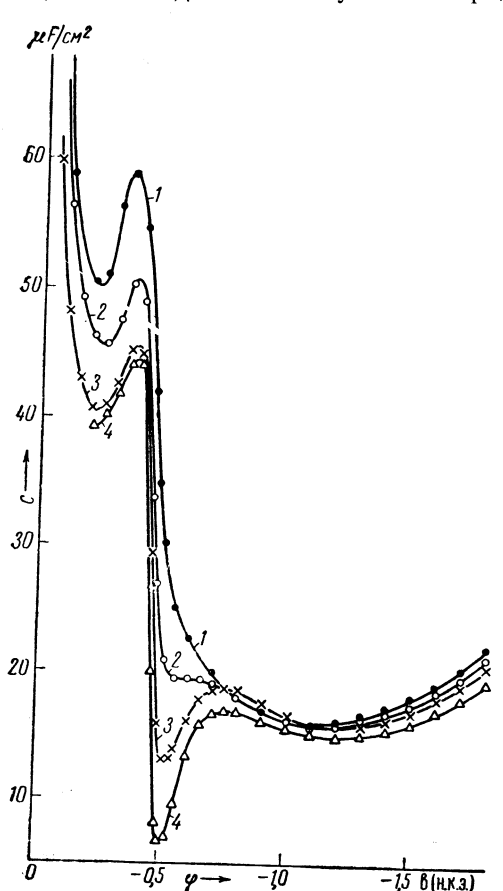


Рис. 1. Кривые дифференциальной емкости в растворах K_4 Fe(CN)₆. I-1 N; 2-0,1 N; 3-0,01 N; 4-0,001 N; 400 гц, 25°

роды аниона. Представляло интерес изучить влияние на форму C — ϕ -кривой адсорбции многозарядного аниона $Fe(CN)_6^4$.

С этой целью с помощью импедансного моста, схема которого описана в работе (5), нами были измерены $C - \phi$ кривые на ртутном капельном электроде в 1; 0,1; 0,01; 0,001 N растворах $K_4Fe(CN)_6$ при 25° . Полученные данные приведены на рис. 1. Как видно из рисунка, при отрицательных зарядах поверхности форма C — ϕ -кривых напоминает аналогичные кривые, полученные в растворах NaF (6): в разрастворах бавленных вблизи т. н. з. $C - \phi$ -кривая имеет отчетливо выраженный минимум, связанный с диффузным строением двойного слоя, а при дальнейшем увеличении отрицательной поляризации емкость проходит через пологий максимум при $\phi \cong -0.75$ в (н. к. э.). Однако при изменении потенциала в сторону положительных зарядов поверхности на $C - \phi$ -кривой вблизи т. н. з. наблюдается резкий, ПОЧТИ вертикальный подъем емкости, а затем характерный максимум (горб), который заметно выше и уже, чем аналогичные максимумы в рас-

творах, содержащих другие анионы. Такая форма $C - \varphi$ -кривой не наблюдалась в присутствии других, ранее изученных анионов ($^{1-4}$) и требует более детального рассмотрения.

Методом Грэма (6) по данным дифференциальной емкости в 1 N K₄Fe(CN)₆ нами были рассчитаны C — ϕ -кривые в 0,1; 0,01 и 0,001 N растворах

 K_4 Fe(CN)₆, исходя из предположения, что анион Fe(CN)₆⁴⁻ не адсорбируется специфически на ртути и т. н. з. во всех растворах равна —0,473 в (н. к. э.), т. е. равна т. н. з. в растворах NaF (⁶) *. Рассчитанная и опытная кривые для 0,01 N раствора K_4 Fe(CN)₆ приведены на рис. 2. Из рисунка видно, что смещение минимума на C — ϕ -кривой от т. н. з. одинаково в случае опытной и расчетной кривых и, следовательно, вызвано несимметричным валентным типом соли K_4 Fe(CN)₆, а не специфической адсорбцией аниона $Fe(CN)_6$ ⁴⁻ в т. н. з. Кроме того, при ϕ отрицательнее —0,65 в (н. к. э.) опытная и расчетная кривые практически совпадают. С другой стороны, при

положительных зарядах поверхности расчет, основанный на предположении об отсутствии специфической адсорбции, значительно c опытными расходится значениями емкости. ким образом, мы приходим к выводу, что при положительных зарядах поверхности анион $Fe(CN)_6^4$ обладает заметной специфиадсорбируемостью ческой на поверхности ртути, тогда как при переходе к отрицательным зарядам поверхности происходит десорбция этого аниона, сопровождающаяся резким падением емкости. Совпадение ниспадающей ветви на расчетных и опытных $C - \phi$ -кривых указывает на то, что резкая десорбция аниона $Fe(CN)_6^{4}$ с поверхности ртути определяется в основном электростатическим взаимодействием многозарядного аниона с поверхностью ртути.

Характерной особенностью данных, полученных нами в 1*N* растворе

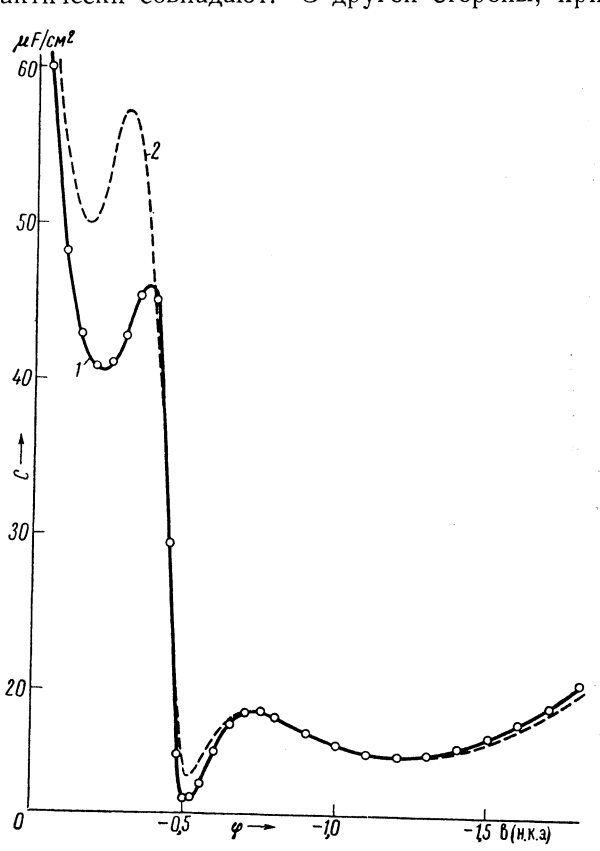


Рис. 2. Кривые дифференциальной емкости в 0,01 N растворе K_4 Fe(CN)₆. 1 — опыт, 2 — расчет

 K_4 Fe(CN)6, является относительно высокое значение емкости в максимуме на $C-\phi$ кривой ($C_{\rm M}=59.0~\mu$ F/cm², тогда как в 1 N KCl $C_{\rm M}=43.2~\mu$ F/cm²), а также наличие при потенциалах максимума поляризационного сопротивления, равного 0,31 ом·см². Согласно теории Уоттс-Тобина (9), горб на $C-\phi$ -кривых связан с максимумом эффективной диэлектрической постоянной слоя адсорбированных диполей воды. Эта теория не рассматривает влияние специфической адсорбции анионов на изменение ориентации диполей воды, а отсутствие горба на $C-\phi$ -кривых в растворах КОН и K_2 CO3 (2) объясняет, по аналогии с растворами KJ, резким подъемом емкости, который ма-

^{*} Следует отметить, что т. н. з. в 1 N растворе K_4 Fe(CN) $_6$ нельзя определить методом обратного интегрирования (7), так как отрицательная ветвь $C-\phi$ -кривой в 1 N K_4 Fe (CN) $_6$ лежит немного ниже, чем в 1 N KCl. Этот результат, по-видимому, связан с уменьшением активности катионов K^+ за счет реакции $K^++Fe(CN)_6^4-KFe(CN)_6^3-$ при высокой концентрации K_4 Fe(CN) $_6$, а не с разрушением комплекса H_2O+K_4 Fe(CN) $_6=K_3$ Fe(CN) $_5\cdot (H_2O)+KCN$ (8), так как с появлением ионов CN^- следовало бы ожидать подъема на $C-\phi$ -кривой при значительно более отрицательных потенциалах (4).

скирует горб и обусловлен сильной специфической адсорбцией анионов ОН- и CO_3^2 -, сравнимой с адсорбцией аниона J^- . С этим объяснением трудно согласиться, так как адсорбция ионов ОН- и CO_3^2 -, в отличие от J^- , не приводит к сдвигу т. н. з. в отрицательную сторону (2). Кроме того, согласно (9), следовало бы ожидать отсутствия горба и в растворах $\mathrm{K}_4\mathrm{Fe}(\mathrm{CN})_6$, поскольку адсорбция аниона $\mathrm{Fe}(\mathrm{CN})_6^4$ приводит к резкому возрастанию емкости, однако это не соответствует опытным данным (рис. 1).

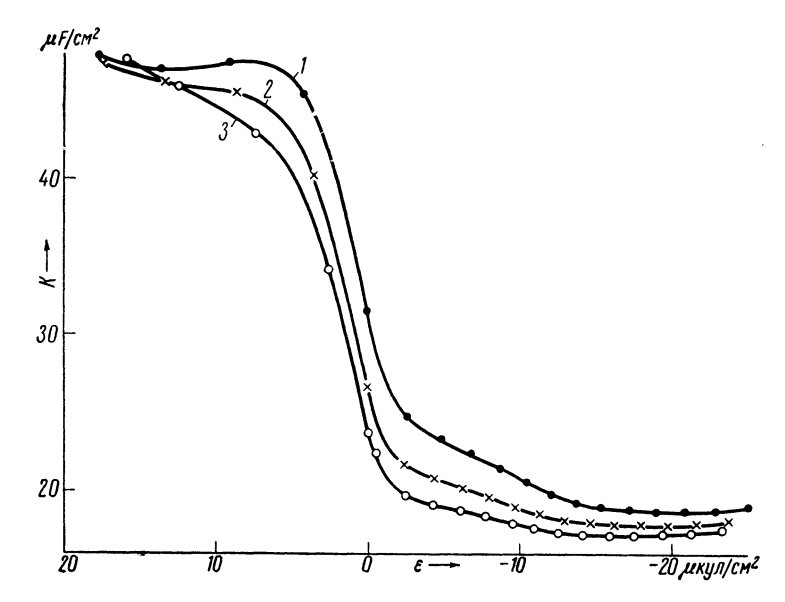


Рис. 3. Кривые интегральной емкости в 0,1 N растворе K_4 Fe(CN)₆ при температурах: $1 - 0^\circ$; $2 - 25^\circ$; $3 - 50^\circ$; 400 гц

Наконец, теория (9) не дает возможности без дополнительных предположений объяснить возникновение поляризационного сопротивления при потенциалах горба на C — ϕ -кривых.

В общем случае наличие горба на $C-\phi$ -кривых определяется отрицательным значением $\partial C/\partial \phi$. Если $\varepsilon-$ заряд электрода; ϕ_a- потенциал, отсчитываемый от т. н. з. в данном растворе; $\xi-$ потенциал нулевой точки, соответствующей той ориентации диполей воды, которая имеется при данном потенциале ϕ_a ($\xi=f(\phi_a)$), и K_0- цстинная интегральная емкость, определяемая соотношением $\varepsilon=K_0$ ($\phi_a-\xi$), то дифференциальная емкость C и формальная интегральная емкость K могут быть выражены следующими уравнениями:

$$C = \frac{\partial \varepsilon}{\partial \varphi} = \frac{\partial K_0}{\partial \varphi} (\varphi_a - \xi) + K_0 \left(1 - \frac{\partial \xi}{\partial \varphi} \right), \tag{1}$$

$$K = \frac{\varepsilon}{\varphi_a} = K_0 \left(1 - \frac{\xi}{\varphi_a} \right), \tag{2}$$

откуда

$$\frac{\partial C}{\partial \varphi} = 2 \frac{\partial K_0}{\partial \varphi} \left(1 - \frac{\partial \xi}{\partial \varphi} \right) + \frac{\partial^2 K_0}{\partial \varphi^2} (\varphi_a - \xi) - K_0 \frac{\partial^2 \xi}{\partial \varphi^2}, \tag{3}$$

$$\frac{\partial K}{\partial \varphi} = \frac{\partial K_0}{\partial \varphi} \left(1 - \frac{\xi}{\varphi_a} \right) + \frac{K_0}{\varphi_a^2} \, \xi - \frac{K_0}{\varphi_a} \frac{\partial \xi}{\partial \varphi} \,. \tag{4}$$

Естественно предположить, что $\partial K_0/\partial \phi \geqslant 0$, а также $|\xi/\phi_a| < 1$ и $|\partial \xi/\partial \phi| < 1$. В этих условиях, как видно из уравнения (3), появление области, в которой $\partial C/\partial \phi < 0$, может быть объяснено либо отрицательным значением $\partial^2 K_0/\partial \phi^2$, либо положительным значением $\partial^2 \xi/\partial \phi^2$.

Как видно из рис. 3, в 0.1 N растворе K_4 Fe (CN)₆ при 0° максимум наблюдается также и на K — ϵ -кривой, т. е. в этом случае существует область, где $\partial K / \partial \varphi < 0$. Согласно уравнению (4), этот результат указывает, что либо $\xi < 0$ при $\phi_a > 0$, либо $\partial \xi / \partial \phi > 0$. Первый вариант был рассмотрен Уоттс — Тобином (9), согласно которому для возникновения отрицательного значения $\partial C/\partial \varphi$ основную роль играет член с $\partial^2 K_0/\partial \varphi^2 < 0$, и, по-видимому, положительное значение $\partial^2 \xi / \partial \phi^2$ при $\xi < 0$, соответствующее завершению реориентации молекул воды. Другое возможное истолкование горбов на $C-\phi$ и $K-\epsilon$ -кривых основывается на предположении об ориентировке диполей воды отрицательным концом к поверхности ртути в т. н. з. и об изменении этой ориентации при вхождении в плотный двойной слой анионов, обладающих достаточной поляризующей способностью. В этом случае при $\phi_a > 0$ величины ξ , $\partial \xi / \partial \phi$ и $\partial^2 \xi / \partial \phi^2$ положительны, причем последняя величина играет основную роль для возникновения области с отрицательным значением $\partial C/\partial \phi$ (см. уравнение (3)). Высота и форма горба на $C - \phi$ -кривых в этих условиях будет зависеть от адсорбируемости аниона и его поляризующей способности (гидратируемости).

Анион $Fe(CN)_6^{4-}$ сильно гидратирован, а его адсорбируемость, как мы показали, резко возрастает при переходе к положительным зарядам поверхности. Поэтому следует ожидать резкого изменения в ориентации адсорбированных диполей воды при вхождении в двойной слой анионов $Fe(CN)_6^{4-}$. Таким образом, экспериментальные данные, полученные нами в 1N $K_4Fe(CN)_6$, находятся в лучшем согласии со вторым вариантом истолкования горба на C— ϕ -кривых. Действительно, резкое изменение ориентации адсорбированных диполей воды определяет высокий и относительно узкий максимум на C— ϕ -кривой, а наблюдаемое при этих же потенциалах поляризационное сопротивление соответствует процессу перестройки двойного слоя при вхождении в него анионов $Fe(CN)_6^{4-}$. Более подробно второй вариант истолкования горбов на C— ϕ -кривых в присутствии различных анионов рассмотрен нами в работе (10).

Московский государственный университет им. М. В. Ломоносова

Поступило 27 VI 1961

ЦИТИРОВАННАЯ ЛИТЕРАТУРА

¹ М. А. Ворсина, А. Н. Фрумкин, ЖФХ, 19, 171 (1945). ² D. С. Grahame, М. А. Ротh, J. I. Сиштіпдѕ, J. Ат. Chem. Soc., 74, 4422 (1952). ³ А. Watanabe, F. Tsuji, S. Ueda, Bull. Inst. Chem. Res. Kyoto Univ., 34, 1, 65 (1956). ⁴ G. C. Barker, R. L. Faircloth, Advances in Polarography, 1, Oxford, 1960, p. 313. ⁵ Б. Б. Дамаскин, ЖФХ, 32, 2199 (1958). ⁶ D. С. Grahame, J. Am. Chem. Soc., 76, 4819 (1954). ⁷ D. C. Grahame, E. M. Coffin, J. I. Сиштіпдѕ, М. А. Ротh, J. Ат. Chem. Soc., 74, 1207 (1952). ⁸ W. L. Reynolds, R. H. Lumry, J. Chem. Phys., 23, 2460 (1955). ⁹ R. J. Watts-Тобіп, Phils. Мад., 6, № 61, 133 (1961). ¹⁰ Е. Шварц, Б. Б. Дамаскин, А. Н. Фрумкин, ЖФХ (в печати).